

# Problems with fitting the cosmological data in $\Lambda$ CDM

Dmitry Gorbunov

Institute for Nuclear Research of RAS, Moscow

On-line seminar  
from INR RAS, Moscow, Russia

PNPI KI, Gatchina, Leningradky region, Russia  
24.02.2022

# Three Generations of Matter (Fermions) spin 1/2

	I	II	III
mass →	2.4 MeV	1.27 GeV	171.2 GeV
charge →	$\frac{2}{3}$	$\frac{2}{3}$	$\frac{2}{3}$
name →	<b>u</b> up	<b>c</b> charm	<b>t</b> top
Quarks	<b>d</b> down	<b>s</b> strange	<b>b</b> bottom
	<b><math>\nu_e</math></b> electron neutrino	<b><math>\nu_\mu</math></b> muon neutrino	<b><math>\nu_\tau</math></b> tau neutrino
Leptons	<b>e</b> electron	<b><math>\mu</math></b> muon	<b><math>\tau</math></b> tau

The Matter generations  
are indistinguishable by  
electric  
weak and  
strong  
forces

0  
0  
**g**  
gluon

0  
0  
 **$\gamma$**   
photon

distinguishable  
by gravity  
and Yukawa  
forces

91.2 GeV  
0  
**Z<sup>0</sup>**  
weak  
force

>114 GeV  
0  
0  
**H**  
Higgs  
boson

Bosons (Forces) spin 1

80.4 GeV  
 $\pm 1$   
**W<sup>±</sup>**  
weak  
force

spin 0

$m_H \approx 125$  GeV

# Description of neutrino oscillations (I)

- Two bases: gauge  $|\nu_\alpha\rangle$ ,  $\alpha = e, \mu, \tau$  and mass  $|\nu_j\rangle$ ,  $j = 1, 2, 3$

$$|\nu_j\rangle = U_{\alpha i} |\nu_\alpha\rangle \quad \text{with unitary PMNS } 3 \times 3 \text{ matrix } U_{\alpha i}$$

- Neutrino mass matrix is then

$$M_{\alpha\beta} = \langle \nu_\alpha | M | \nu_\beta \rangle = (UM^{(m)}U^\dagger)_{\alpha\beta}, \quad \text{where } M_{ij}^{(m)} = m_j \delta_{ij}.$$

- Free neutrino evolution in time and space

$$|\nu_j(t)\rangle = e^{-im_j t} |\nu_j(0)\rangle \quad \rightarrow \quad |\nu_j(t, L)\rangle = e^{-i(E_j t - p_j L)} |\nu_j(0)\rangle,$$

in ultrarelativistic case  $\rightarrow$  Hamiltonian

$$p_j = \sqrt{E^2 - m_j^2} = E - m_j^2/2E \quad \rightarrow \quad |\nu_j(L)\rangle = e^{-i \frac{m_j^2}{2E} L} |\nu_j(0)\rangle.$$

## Description of neutrino oscillations (II)

- Neutrino effective Hamiltonian

$$|\nu_j(L)\rangle = e^{-i\frac{m_j^2}{2E}L} |\nu_j(0)\rangle \rightarrow H_{\text{eff}} = \frac{M^2}{2E}$$

- Transition amplitude of neutrino  $\nu_\alpha$  to neutrino  $\nu_\beta$  is

$$A(\alpha \rightarrow \beta) = \sum_j \langle \nu_\beta | \nu_j(L) \rangle \langle \nu_j(0) | \nu_\alpha \rangle = \sum_j \langle \nu_\beta | \nu_j \rangle e^{-i\frac{m_j^2}{2E}L} \langle \nu_j | \nu_\alpha \rangle = \sum_j U_{\beta j} e^{-i\frac{m_j^2}{2E}L} U_{\alpha j}^*$$

- Transition probability

$$\Delta m_{ji}^2 \equiv m_j^2 - m_i^2$$

$$\begin{aligned} P(\nu_\alpha \rightarrow \nu_\beta) &= |A(\alpha \rightarrow \beta)|^2 \\ &= \delta_{\alpha\beta} - 4 \sum_{j>i} \text{Re}[U_{\alpha j}^* U_{\beta j} U_{\alpha i} U_{\beta i}^*] \sin^2 \left( \frac{\Delta m_{ji}^2}{4E} L \right) \\ &\quad + 2 \sum_{j>i} \text{Im}[U_{\alpha j}^* U_{\beta j} U_{\alpha i} U_{\beta i}^*] \sin \left( \frac{\Delta m_{ji}^2}{2E} L \right), \end{aligned}$$

## Description of neutrino oscillations (III)

- Two-neutrino oscillations: transition probability

$$P(\nu_\alpha \rightarrow \nu_{\beta \neq \alpha}) = \sin^2 2\theta \cdot \sin^2 \left( \frac{\Delta m^2}{4E} L \right),$$

- Two-neutrino oscillations: survival probability

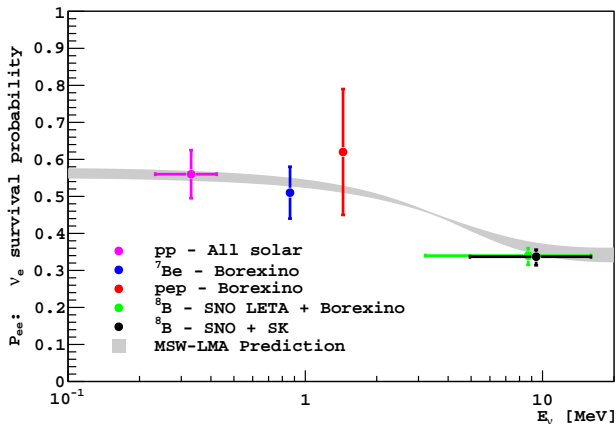
$$P(\nu_\alpha \rightarrow \nu_\alpha) = 1 - \sin^2 2\theta \cdot \sin^2 \left( \frac{\Delta m^2}{4E} L \right)$$

- Oscillation length

$$L_{osc} = \frac{4\pi E}{\Delta m^2} = (2.5 \text{ km}) \cdot \frac{E \text{ eV}^2}{\text{GeV} \Delta m^2}$$

# Neutrino matter effect

## Mikheev–Smirnov–Wolfenstein effect



## BOREXINO measurements of solar neutrino flux

## Fermi charged currents

$$\mathcal{L} = -2\sqrt{2}G_F \bar{\nu}_e \gamma^\mu e \cdot \bar{e} \gamma_\mu \nu_e$$

only matter, no currents

$$\langle \langle \bar{e}_k \gamma_{kl}^0 e_l \rangle \rangle = \langle \langle e^\dagger e \rangle \rangle = n_e,$$

$$\langle \langle \bar{e}_k \gamma_{kl}^j e_l \rangle \rangle = 0.$$

$$\langle \langle e_k \bar{e}_l \rangle \rangle = -\frac{1}{4} \gamma_{kl}^0 \cdot n_e$$

Fermi interaction gives

$$\mathcal{L}_{\text{eff}} = -\sqrt{2}G_F n_e \bar{\nu}_e \gamma^0 \nu_e.$$

$$i\gamma^0 \partial_0 \rightarrow i\gamma^0 \partial_0 - \sqrt{2}G_F n_e \gamma^0,$$

effective potential

$$i\partial_0 - V, \text{ with } V = \sqrt{2}G_F n_e$$

competes with

$$H_{\text{eff}} = \Delta m^2 / 2E$$

# Sterile neutrinos: NEW ingredients

One of the optional physics beyond the SM:

- sterile:** new fermions uncharged under the SM gauge group  
**neutrino:** explain observed oscillations by mixing with SM (active) neutrinos

Attractive features:

- possible to achieve within renormalizable theory
- only  $N = 2$  Majorana neutrinos needed
- baryon asymmetry via leptogenesis
- dark matter (with  $N \geq 3$  at least)
- light(?) sterile neutrinos might be responsible for neutrino anomalies. . . ?

Disappointing feature:

Major part of parameter space is UNTESTABLE

# Three Generations of Matter (Fermions) spin 1/2

	I	II	III
mass →	2.4 MeV	1.27 GeV	171.2 GeV
charge →	$\frac{2}{3}$	$\frac{2}{3}$	$\frac{2}{3}$
name →	Left <b>u</b> Right up	Left <b>c</b> Right charm	Left <b>t</b> Right top
Quarks	4.8 MeV	104 MeV	4.2 GeV
	$-\frac{1}{3}$	$-\frac{1}{3}$	$-\frac{1}{3}$
	Left <b>d</b> Right down	Left <b>s</b> Right strange	Left <b>b</b> Right bottom
Leptons	$<0.0001$ eV $\sim 10$ keV	$\sim 0.01$ eV $\sim$ GeV	$\sim 0.04$ eV $\sim$ GeV
	Left $\nu_e$ Right $N_1$ electron neutrino sterile neutrino	Left $\nu_\mu$ Right $N_2$ muon neutrino sterile neutrino	Left $\nu_\tau$ Right $N_3$ tau neutrino sterile neutrino
	0.511 MeV	105.7 MeV	1.777 GeV
	-1	-1	-1
	Left <b>e</b> Right electron	Left <b><math>\mu</math></b> Right muon	Left <b><math>\tau</math></b> Right tau

Bosons (Forces) spin 1

0	<b>g</b>	gluon
0	<b><math>\gamma</math></b>	photon
91.2 GeV	<b>Z<sup>0</sup></b>	weak force
80.4 GeV	<b>W<sup>±</sup></b>	weak force

$>114$ GeV	<b>H</b>	Higgs boson
0		spin 0

# Seesaw mechanism: $M_N \gg 1 \text{ eV}$

With  $m_{\text{active}} \lesssim 1 \text{ eV}$  we work in the seesaw (type I) regime:

$$\mathcal{L}_N = \bar{N} i \not{\partial} N - f \bar{L}_e^c \tilde{H} N - \frac{M_N}{2} \bar{N}^c N + \text{h.c.}$$

Higgs gains  $\langle H \rangle = v/\sqrt{2}$  and then

$$\mathcal{Y}_N = \frac{1}{2} (\bar{\nu}_e, \bar{N}^c) \begin{pmatrix} 0 & v \frac{f}{\sqrt{2}} \\ v \frac{f}{\sqrt{2}} & M_N \end{pmatrix} \begin{pmatrix} \nu_e \\ N \end{pmatrix} + \text{h.c.}$$

For a hierarchy  $M_N \gg M^D = v \frac{f}{\sqrt{2}}$  we have

flavor state  $\nu_e = U \nu_1 + \theta N$  with  $U \approx 1$  and

active-sterile mixing:  $\theta = \frac{M^D}{M_N} = \frac{v f}{2 M_N} \ll 1$

and mass eigenvalues

$$\approx M_N \quad \text{and} \quad -m_{\text{active}} = \theta^2 M_N \lll M_N$$

# Sterile neutrino: a vast region of mass

Within the seesaw paradigm, as far as

$$m_a \sim \frac{f^2 v^2}{M_N^2} M_N \sim \theta^2 M_N$$

Any set

(mass scale  $M_N$ , Yukawa coupling  $f$ )

is viable

And with special tuning or symmetry larger (but not smaller) mixing  
3 sterile neutrinos is  
viable

$$\hat{m}_a \sim \hat{f}^T \frac{1}{\hat{M}_N} \hat{f} v^2$$

# Light sterile neutrinos and cosmology

- Analysis of CMB & LSS (e.g., Planck, SDSS):  
Mixing  $\theta \sim 0.1-1$ , mass  $\sim 1$  eV  
NONE (or, may be, one)
  - there are  $2\sigma$  discrepancies in  $H_0$ ,  $\sigma_8$ , lensing, ...  
small scale crisis, SPT vs Planck, ...
- Explanation of the combined anomalous results  
needs TWO or MORE
  - of course, some anomalies may be just anomalies...
- Production in the early Universe can be efficiently suppressed, e.g.,  
by scalar field

$$\mathcal{L} = \phi \bar{N}^c N + \text{h.c.}$$

or if the reheating scale is low,  $T_{reh} \sim 10$  MeV

# Description of neutrino oscillations

- Oscillation length

small  $L_{osc}$   $\leftrightarrow$  big  $\Delta m^2$

$$L_{osc} = \frac{4\pi E}{\Delta m^2} = (2.5 \text{ m}) \cdot \frac{E}{\text{MeV}} \frac{\text{eV}^2}{\Delta m^2}$$

- Oscillation probability:

$$P(\nu_\alpha \rightarrow \nu_\beta) = \left| \delta_{\alpha\beta} - \sin^2 2\theta_{\alpha\beta} \sin^2 \left( \frac{L \Delta m_{41}^2}{4E} \right) \right|, \quad \sin^2 2\theta_{\alpha\beta} = 4 |U_{\alpha 4}|^2 \left| \delta_{\alpha\beta} - |U_{\beta 4}|^2 \right|$$

- transition probability

appearance

$$P(\nu_\alpha \rightarrow \nu_{\beta \neq \alpha}) = \sin^2 2\theta_{\alpha\beta} \sin^2 \left( \frac{L \Delta m_{41}^2}{4E} \right), \quad \sin^2 2\theta_{\alpha\beta} = 4 |U_{\alpha 4}|^2 |U_{\beta 4}|^2$$

- survival probability

disappearance

$$P(\nu_\alpha \rightarrow \nu_\alpha) = 1 - \sin^2 2\theta_{\alpha\alpha} \cdot \sin^2 \left( \frac{\Delta m_{41}^2}{4E} L \right), \quad \sin^2 \theta_{\alpha\alpha} = |U_{\alpha 4}|^2$$

# Reactor anomaly: recent results...

1809.10516

PROSPECT (USA, 2018-...)

85 MW<sub>th</sub> compact reactor  
segmented detector covering  
 $L = 6 - 7.5$  m

measures flux ratios

STEREO (France, 2018-...)

58 MW<sub>th</sub> compact reactor  
segmented detector covering  
 $L = 9.4 - 11.1$  m

measures flux ratios

NEUTRINO-4 (Russia, 2018-...):

100 MW<sub>th</sub>

extracompact

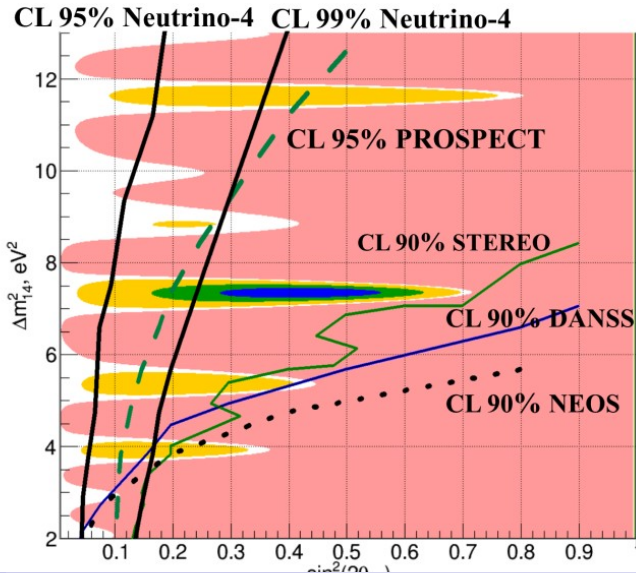
reactor SM-3 (Dimitrovgra)  
segmented movable detector  
 $L = 6 - 12$  m

measures flux ratios

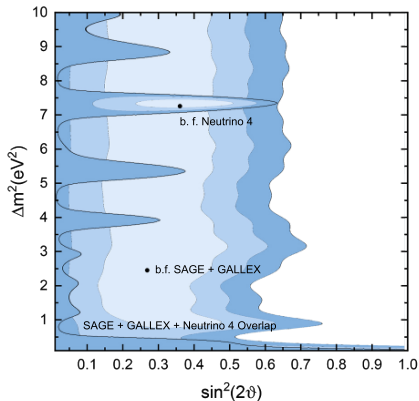
best fit

$$\Delta m^2 \simeq 7.2 \text{ eV}^2$$

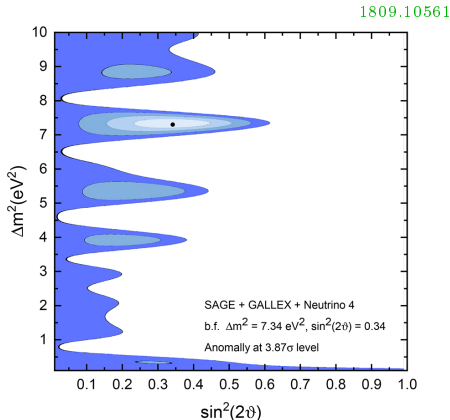
$$\sin^2 2\theta_{ee} \simeq 0.35$$



# Consistency of Gallium and NEUTRINO-4 anomalies



1905.07437



1809.10561

almost 4 $\sigma$  anomaly

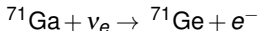
# Baksan Experiment on Sterile Transition

proposal: 1006.2103, 1204.5379, ...

artificial dichromatic source:

$^{51}\text{Cr}$  of 3 MCi ( $\Delta W/W < 0.5\%$ )

neutrino flux measurement:



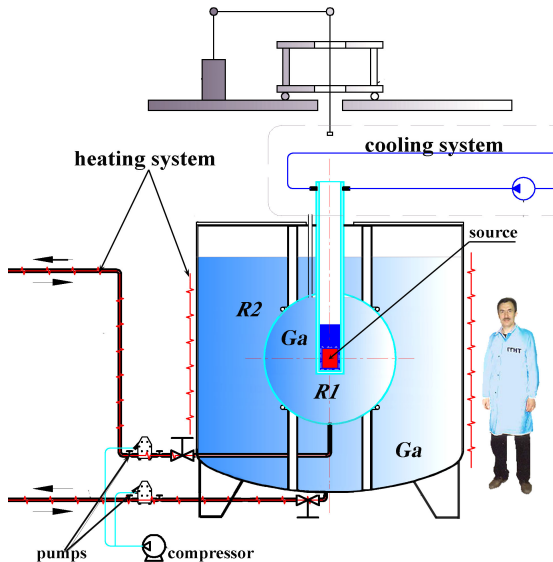
2 detector volumes:  
for the flux cross check

geometry is chosen:  
to search for  $\simeq 1$  eV neutrino

data taking:

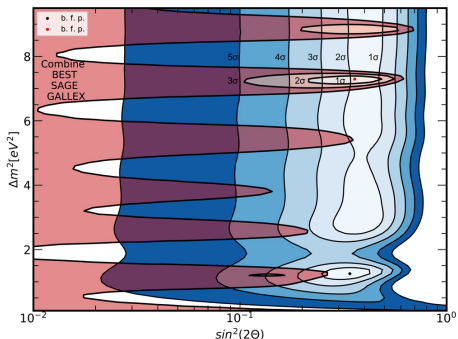
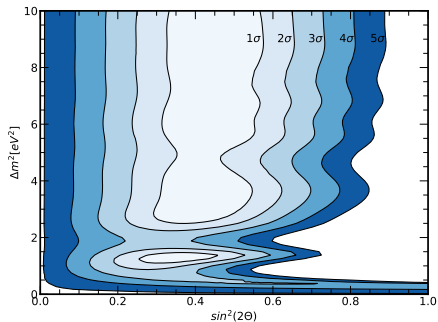
July–September 2019

$\tau_{^{51}\text{Cr}} = 27.7\text{d}$



BEST:  $R_1 = 0.791 \pm 0.050$ ,  $R_2 = 0.766 \pm 0.050$

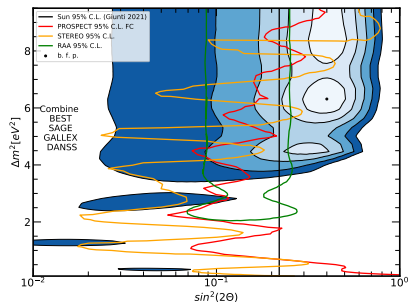
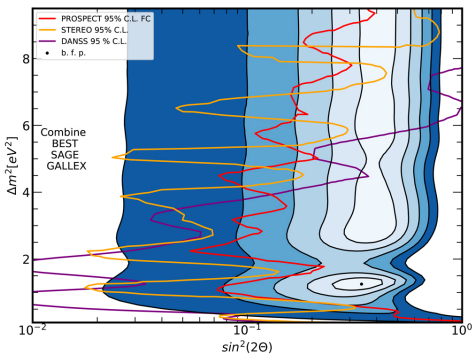
2109.11482



5- $\sigma$  evidence for  $\nu_s$   
confirmation of Gallium anomaly  
consistent with NEUTRINO-4

2109.14654

## BEST combined with others



5.7- $\sigma$  combined evidence for  $\nu_s$

BEST b.f.p. is excluded by reactor neutrino experiments

Combined 2- $\sigma$  region is consistent with Reactor Anomaly

Combined 2- $\sigma$  region is excluded

from solar neutrinos  
and from cosmology

# Light sterile neutrinos in cosmology

Impact on processes

- Big Bang Nucleosynthesis: increase of expansion rate

$$H^2 = \frac{8\pi}{3} G\rho, \quad \rho = \frac{\pi^2}{30} \left( 2 \times T_\gamma^4 + 2 \times (3 + \Delta N_\nu) \times T_\nu^4 \right)$$

with  $\Delta N_\nu > 0$  higher  $H$  neutrons freeze out earlier giving more Helium

- expansion rate at Equality,  $\rho_{rad} = \rho_{mat}$ , and at CMB epoch change of CMB anisotropy  $-0.34 < \Delta N_\nu < 0.33$  (95% CL)
- become non-relativistic, but have high velocity  
free streaming leads to washing out of low-scale perturbations  
change galaxy spectrum limits on  $\Delta N_\nu$  & neutrino masses

# Sterile neutrino production in cosmology

$$P(\nu_\alpha \rightarrow \nu_s) = \sin^2 2\theta_\alpha \cdot \sin^2 \left( \frac{t}{2t_\alpha^{\text{vac}}} \right),$$

$$t_\alpha^{\text{vac}} = \frac{2E_\nu}{\Delta m^2}, \quad \Delta m^2 = m_s^2 - m_1^2 \simeq m_s^2.$$

$$H = U \cdot \text{diag} \left( \frac{m_1^2}{2E_\nu}, \frac{m_2^2}{2E_\nu} \right) \cdot U^\dagger + V_{\text{int}},$$

$$U = \begin{pmatrix} \cos \theta_\alpha & \sin \theta_\alpha \\ -\sin \theta_\alpha & \cos \theta_\alpha \end{pmatrix}, \quad V_{\text{int}} = \begin{pmatrix} V_{\alpha\alpha} & 0 \\ 0 & 0 \end{pmatrix}.$$

$$V_{\tau\tau} = -\frac{14\pi}{45\alpha} \sin^2 \theta_W \cos^2 \theta_W \cdot G_F^2 T^4 \cdot E_\nu \approx -25 \cdot G_F^2 T^4 \cdot E_\nu,$$

# Sterile neutrino production in cosmology

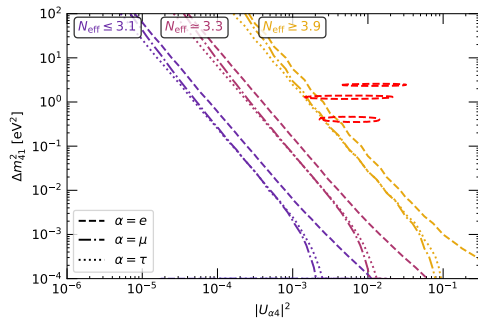
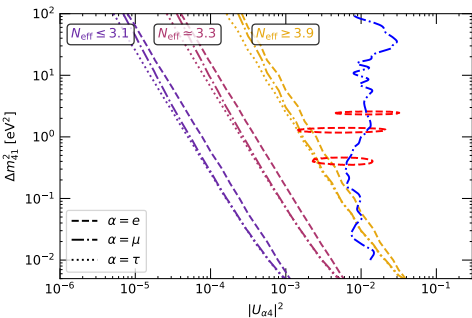
$$P(\nu_\alpha \rightarrow \nu_s) = \sin^2 2\theta_\alpha^{\text{pl}} \cdot \sin^2 \left( \frac{t}{2t_\alpha^{\text{pl}}} \right),$$

$$t_\alpha^{\text{pl}} = \frac{t_\alpha^{\text{vac}}}{\sqrt{\sin^2 2\theta_\alpha + (\cos 2\theta_\alpha - V_{\alpha\alpha} \cdot t_\alpha^{\text{vac}})^2}}, \quad \sin 2\theta_\alpha^{\text{pl}} = \frac{t_\alpha^{\text{pl}}}{t_\alpha^{\text{vac}}} \cdot \sin 2\theta_\alpha,$$

$$\frac{\partial}{\partial t} f_s - H \mathbf{p} \frac{\partial}{\partial \mathbf{p}} f_s = \frac{1}{4} \Gamma_\alpha \sin^2 2\theta_\alpha^{\text{pl}} f_\alpha(t, \mathbf{p}).$$

$$\Omega_{\nu_s} \simeq 0,2 \cdot \left( \frac{\sin 2\theta_\alpha}{10^{-4}} \right)^2 \cdot \left( \frac{m_s}{1 \text{ keV}} \right)^2.$$

Spectrum is exactly Fermi–Dirac



# Sterile neutrino production with asymmetry

$$P(\nu_\alpha \rightarrow \nu_s) = \sin^2 2\theta_\alpha^{\text{pl}} \cdot \sin^2 \left( \frac{t}{2t_\alpha^{\text{pl}}} \right),$$

$$t_\alpha^{\text{pl}} = \frac{t_\alpha^{\text{vac}}}{\sqrt{\sin^2 2\theta_\alpha + (\cos 2\theta_\alpha - V_{\alpha\alpha} \cdot t_\alpha^{\text{vac}})^2}}, \quad \sin 2\theta_\alpha^{\text{pl}} = \frac{t_\alpha^{\text{pl}}}{t_\alpha^{\text{vac}}} \cdot \sin 2\theta_\alpha,$$

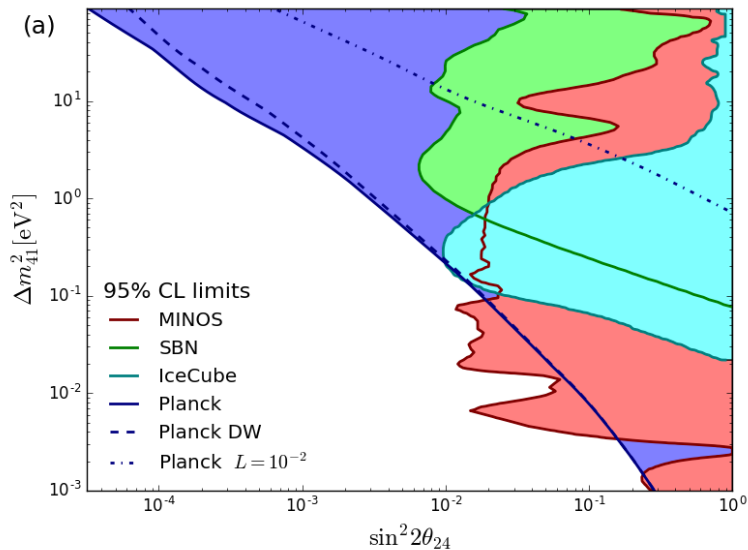
$$\frac{\partial}{\partial t} f_s - H\mathbf{p} \frac{\partial}{\partial \mathbf{p}} f_s = \frac{1}{4} \Gamma_\alpha \sin^2 2\theta_\alpha^{\text{pl}} f_\alpha(t, \mathbf{p}).$$

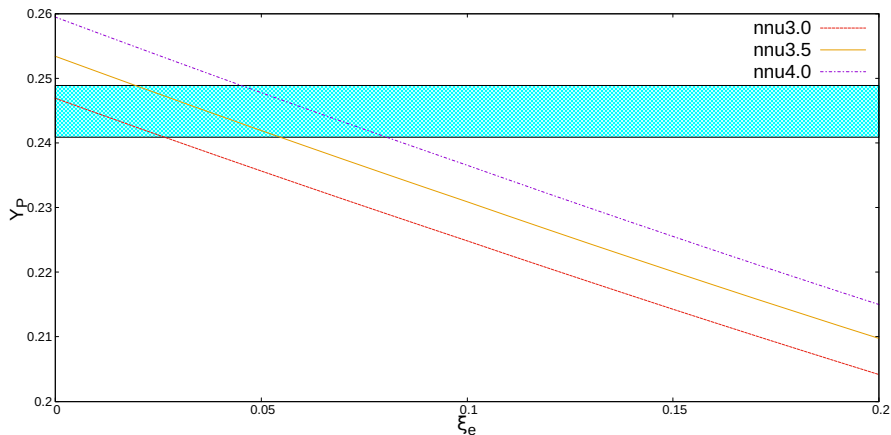
$$V_{\alpha\alpha}^{\text{sym}} \propto G_F T^2 G_F T^2 E_\nu, \quad V_{\alpha\alpha}^{\text{asym}} \propto G_F T^2 L T$$

$$t_{\text{vac}} = \frac{4E_\nu}{m_s^2}$$

BBN, CMB: asymmetry  $L < 10^{-2}-10^{-3}$ , realistic models ( $\nu\text{MSM}$ )  $L < 10^{-4}$

Spectrum is not like Fermi–Dirac





Asymmetry changes the thermal neutron density  
 Extra radiation changes the expansion rate

COULD BE ONE OF THE SOLUTIONS...

(NEED TO EXPLAIN THE LEPTON ASYMMETRY)

JUST DO IT

COULD BE ONE OF THE SOLUTIONS...

(NEED TO EXPLAIN THE LEPTON ASYMMETRY)

JUST DO IT

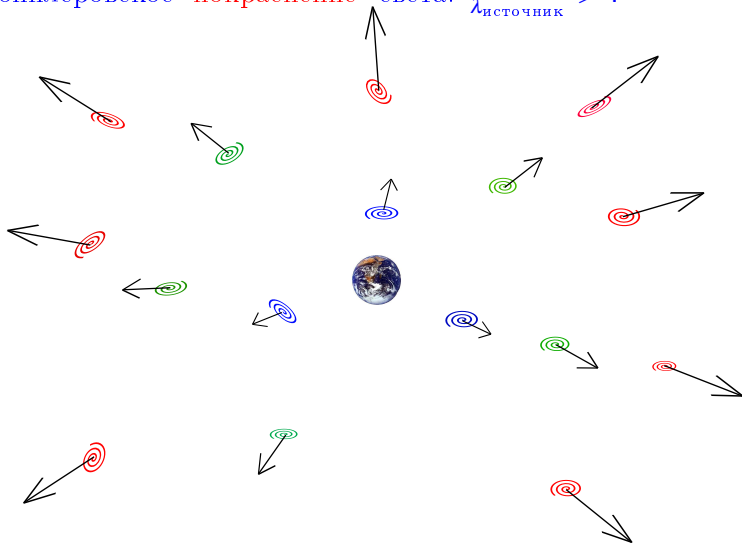
AND NOW

WE TURN TO

PROBLEMS IN COSMOLOGY

# Вселенная расширяется !

Доплеровское “покраснение” света:  $\frac{\lambda_{\text{приёмник}}}{\lambda_{\text{источник}}} > 1$



# Измерение скоростей удалённых объектов

## Эффект Доплера

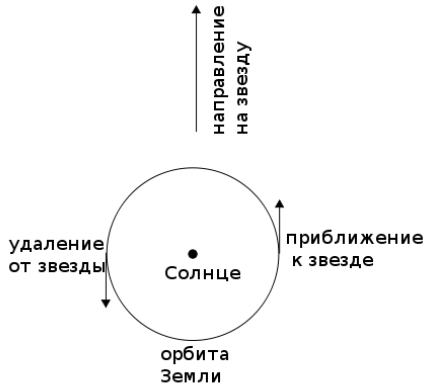
$$\omega = \omega_0 \frac{1 + \frac{v_{\text{приёмник}}}{c_{\text{волн в среде}}}}{1 - \frac{v_{\text{источник}}}{c_{\text{волн в среде}}}}$$

## Релятивистское обобщение

$$\omega = \omega_0 \frac{\sqrt{1 - \frac{v^2}{c^2}}}{1 + \frac{v}{c} \cos \theta}$$

$\theta$  — угол между направлением на источник и его скоростью  $\vec{v}$

Позволяет найти скорость вращения вне зависимости от скорости центра вращения!



# Расширяющаяся Вселенная: масштабный фактор

Доплеровское “покраснение” света:  $\frac{\lambda_{\text{приёмник}}}{\lambda_{\text{источник}}} > 1$

$$L \propto a(t)$$

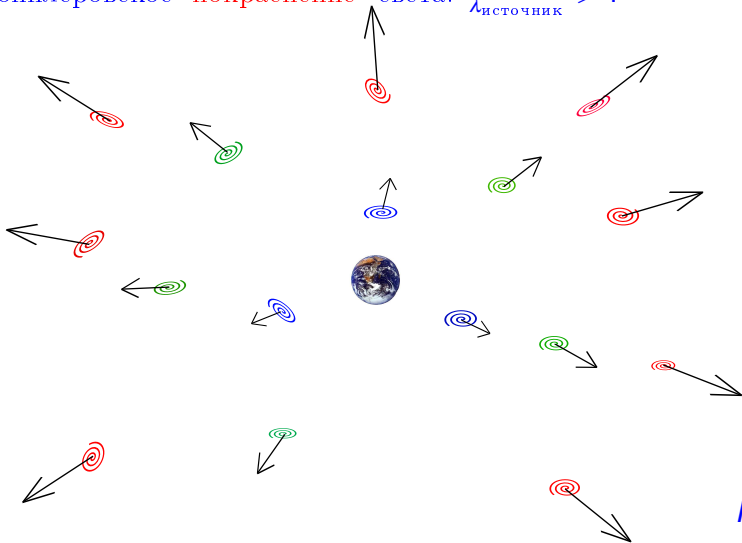
$$n \propto a^{-3}(t)$$

$$H(t) = \frac{\dot{a}(t)}{a(t)}$$

параметр  
Хаббла

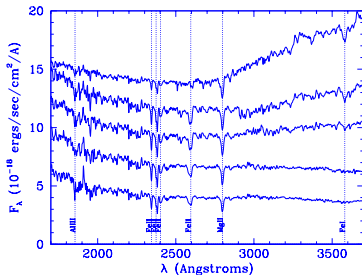
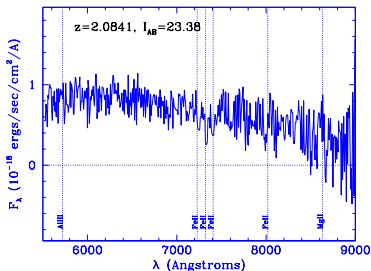
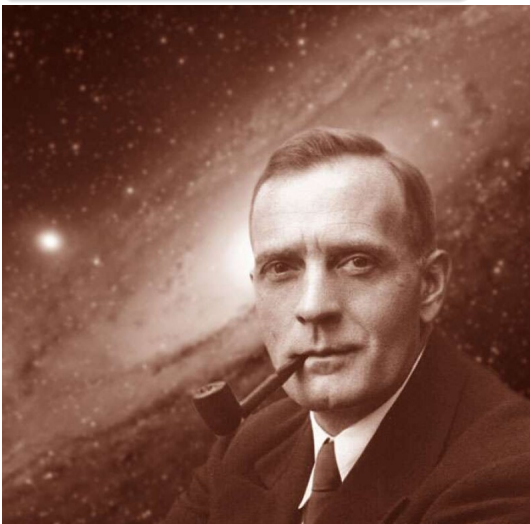
закон  
Хаббла

$$H(t_0) r = v_r$$



Расширение: красное смещение  $z$   $\lambda_{\text{abs.}}/\lambda_{\text{em.}} \equiv 1 + z$

$z \ll 1$  закон Хаббла :  $cz = H_0 r$



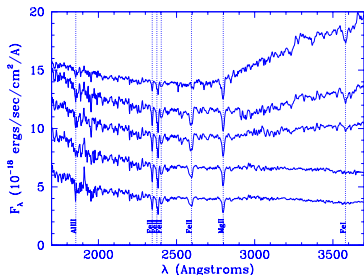
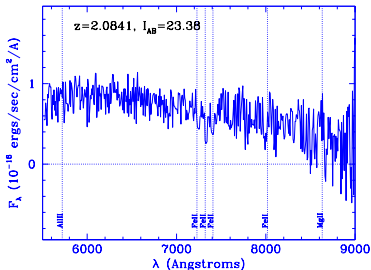
Расширение: красное смещение  $z$   $\lambda_{\text{abs.}}/\lambda_{\text{em.}} \equiv 1 + z$

$z \ll 1$  закон Хаббла

$$cz = H_0 r$$

Измерения Э.Хаббла (1929)

$$H_0 \approx 550 \pm 100 \frac{\text{км}}{\text{с} \cdot \text{Мпк}}$$



Расширение: красное смещение  $z$   $\lambda_{\text{abs.}}/\lambda_{\text{em.}} \equiv 1 + z$

$z \ll 1$  закон Хаббла

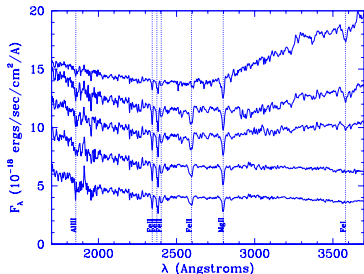
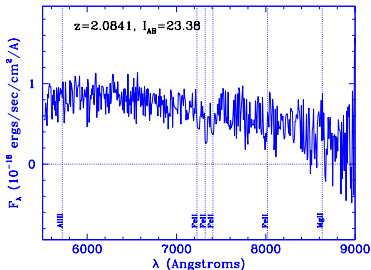
$$cz = H_0 r$$

Измерения Э.Хаббла (1929)

$$H_0 \approx 550 \pm 100 \frac{\text{км}}{\text{с} \cdot \text{Мпк}}$$

Измерения.. на рубеже веков

$$H_0 \approx 73 \pm 7 \frac{\text{км}}{\text{с} \cdot \text{Мпк}}$$

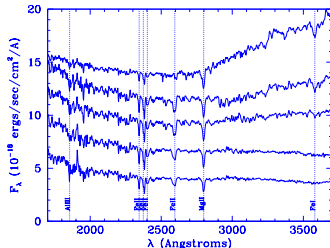
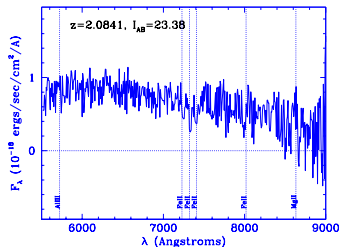
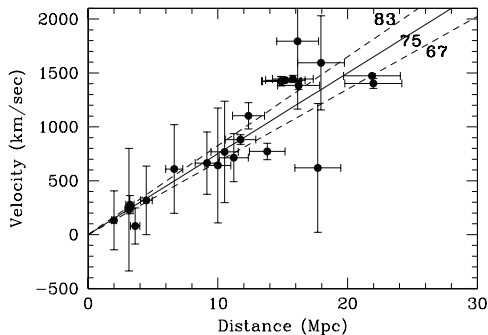


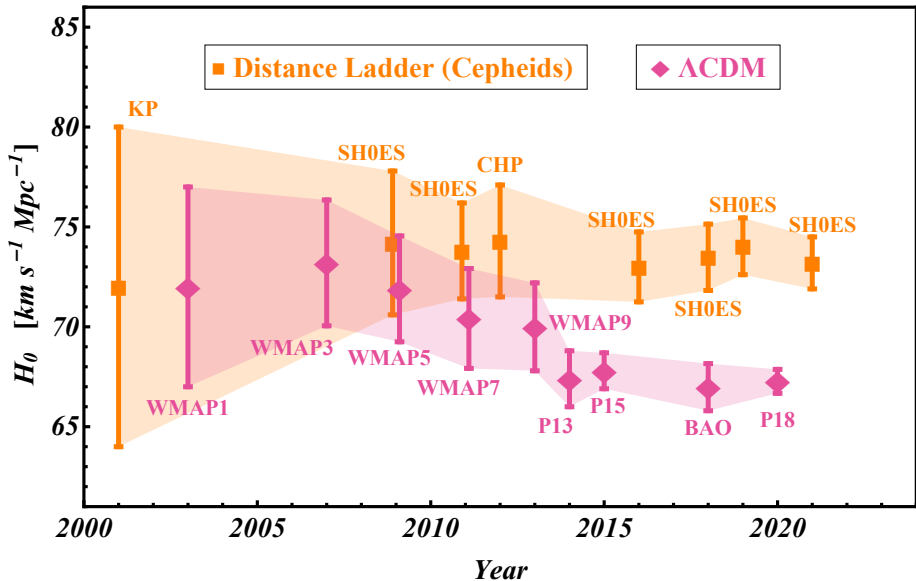
Расширение: красное смещение  $z$   $\lambda_{\text{abs.}}/\lambda_{\text{em.}} \equiv 1 + z$

закон Хаббла :  $c z = H_0 r$

стандартные свечи

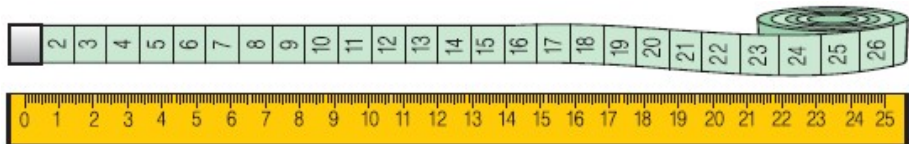
Hubble Diagram for Cepheids (flow-corrected)





2105.05208

# Лестница расстояний... стартуем от наблюдателя



## ИЗМЕРЯЕМ



- размер орбиты Земли

$$2\pi R = v \times 1 \text{ год}$$

- расстояние по углу (годовой параллакс)

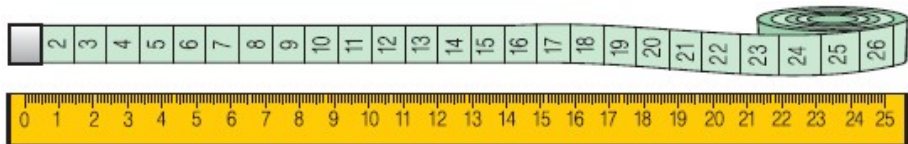
$$L = \theta \times 2R$$

- светимость  $F$  по яркости  $J$  и расстоянию

$$J = \frac{F}{4\pi L^2}$$

- нашли связь  $F$  и другой наблюдаемой (частота вспышек, темп затухания, ...) – **определили стандартную свечу !**

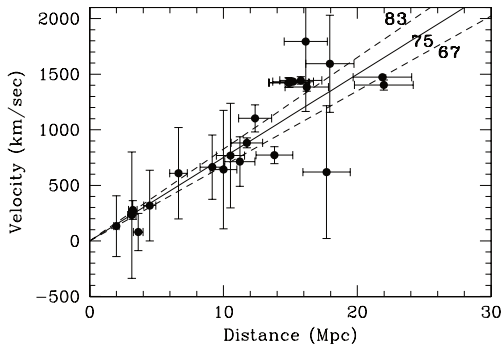
# Лестница расстояний... стартуем от наблюдателя



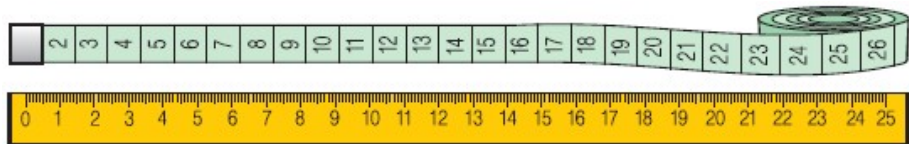
Измеряем светимость по яркости и расстоянию



Hubble Diagram for Cepheids (flow-corrected)



# Лестница расстояний... от цефеид к сверхновым



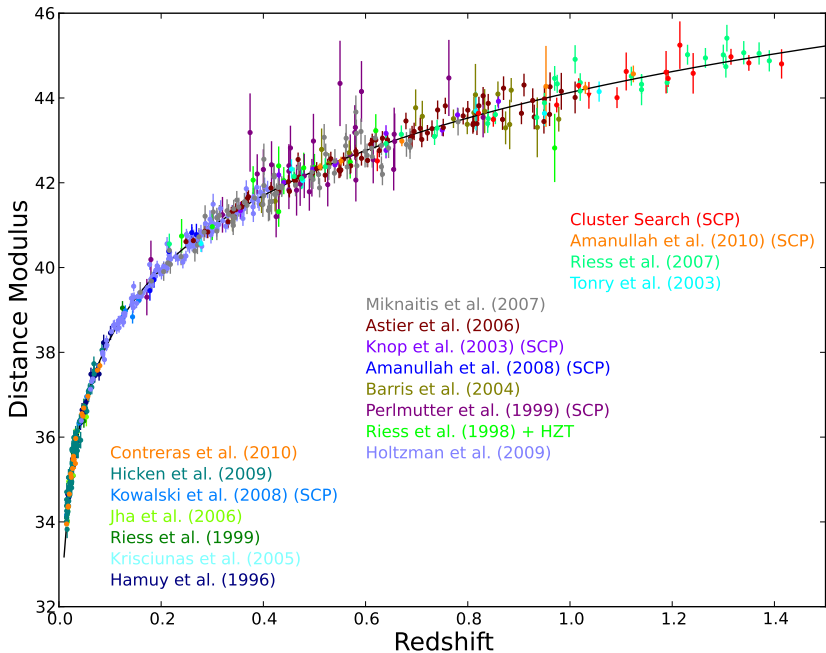
Измеряем яркость объекта  $J$  заданной светимости  $F$  – “стандартные свечи”

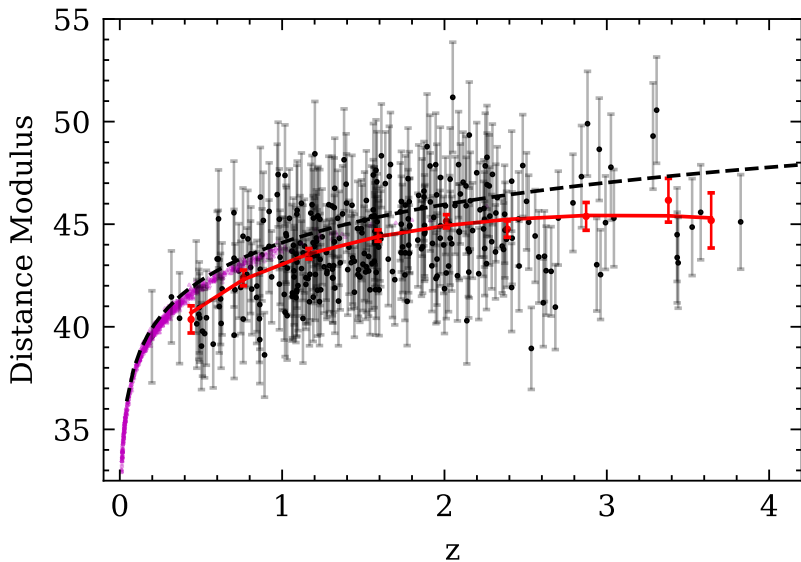
$$J = \frac{F}{4\pi L^2} \rightarrow J = \frac{F}{4\pi L^2(1+z)(1+z)} \quad \frac{\text{энергия}}{\text{время} \times \text{площадь}}$$



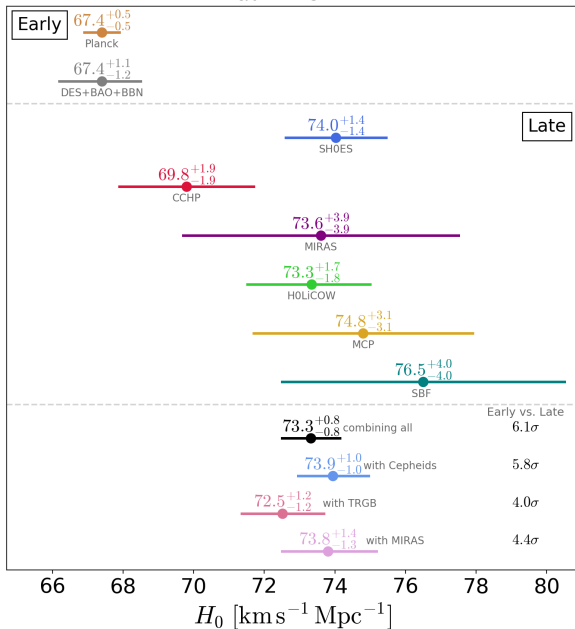
Для расширяющейся Вселенной формула модифицируется

$$J = \frac{F}{4\pi d_L^2}, \quad \text{где} \quad d_L = c(1+z) \int_0^z \frac{dz'}{H(z')}$$





# flat - $\Lambda$ CDM



1907.10625



# Альтернатива: расстояние углового размера

- Измеряя угловой размер  $\theta$  объектов известного размера  $d$

– однотипные галактики

$$\theta = \frac{d}{L}$$



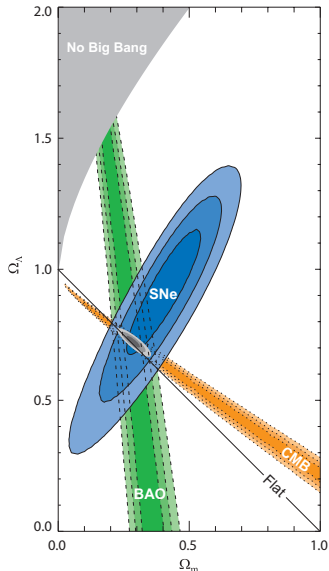
- изменяющегося со временем по известному закону, например:  $d(t) \propto a(t)$

– крупномасштабные неоднородности в космических структурах

$$\theta(t) = \frac{d(t)}{L}$$



# Данные из астрофизики и космологии сходятся



$$\left(\frac{\dot{a}}{a}\right)^2 = H^2(t) = \frac{8\pi}{3} G \rho_{\text{плотность энергии}}$$

$$\rho_{\text{плотность энергии}} = \rho_{\text{радиация}} + \rho_{\text{обычное вещество}} + \rho_{\text{тёмная материя}} + \rho_\Lambda$$

$$\rho_{\text{радиация}} \propto 1/a^4(t) \propto T^4(t), \quad \rho_{\text{вещество}} \propto 1/a^3(t)$$

$$\rho_\Lambda = \text{const}$$

$$\frac{3H_0^2}{8\pi G} = \rho_{\text{плотность энергии}}(t_0) \equiv \rho_c \approx 0.53 \times 10^{-5} \frac{\text{ГэВ} \text{с}^2}{\text{см}^3}$$

вклад РИ:  $\Omega_\gamma \equiv \frac{\rho_\gamma}{\rho_c} = 0.5 \times 10^{-4}$

Вклад барионов (водород, гелий):  $\Omega_B \equiv \frac{\rho_B}{\rho_c} = 0.046$

Вклад нейтрино:  $\Omega_\nu \equiv \frac{\sum \rho_{\nu_i}}{\rho_c} < 0.01$

Вклад тёмной материи:  $\Omega_{DM} \equiv \frac{\rho_{DM}}{\rho_c} = 0.25$

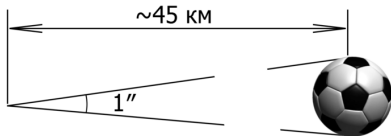
Вклад тёмной энергии:  $\Omega_\Lambda \equiv \frac{\rho_\Lambda}{\rho_c} = 0.70$

# Альтернатива: расстояние углового размера

Измеряем угловой размер  $\theta$  объектов известного размера  $d$

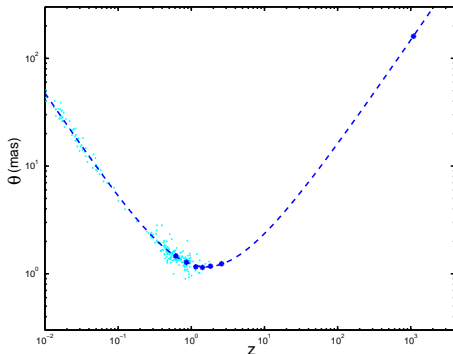
– однотипные галактики

$$\theta = \frac{d}{L}$$



в расширяющейся Вселенной  
формула модифицируется,

$$L \rightarrow d_A(z) = \frac{c}{(1+z)} \int_0^z \frac{dz'}{H(z')}$$

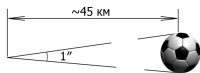


# Стандартная линейка: стартуем из ранней Вселенной

## Измеряя угловой размер $\theta$ объекта

- известного размера  $r$  – характерный размер пятна в анизотропии реликтового излучения

$$\theta = \frac{r}{L}$$



- изменяющегося со временем по известному закону, например:  
 $d(z) \propto a(z)$  – связанные неоднородности в распределении галактик

$$\theta(z) = \frac{d(z)}{L}$$

- при этом  $r$  – звуковой горизонт эпохи рекомбинации
- $d(z_{rec}) \approx r$

# Вселенная заполнена “горячими” фотонами

спектр  $f_\gamma(\omega)$  и концентрация  $n_\gamma$  согласованы...

$$T_0 = 2.726 \text{ K}$$

$$f_\gamma(\omega) = \frac{1}{e^{\omega/T_0} - 1}$$

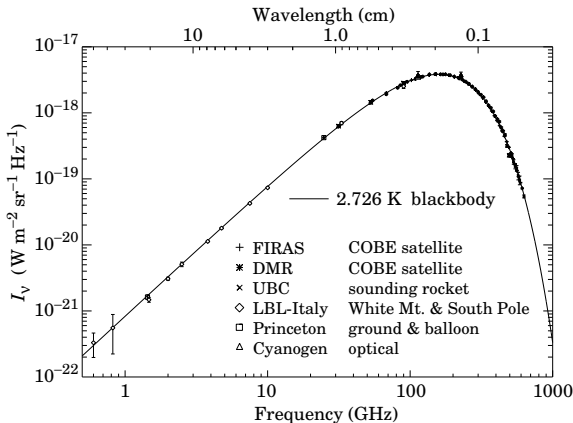
$$\begin{aligned} \rho_\gamma &= \int \frac{\omega^3}{\pi^2} d\omega f_\gamma(\omega) \\ &= \frac{\pi^2}{15} T_0^4 = 4\sigma T_0^4 \end{aligned}$$

$$\begin{aligned} n_\gamma &= \int \frac{\omega^2}{\pi^2} d\omega f_\gamma(\omega) \\ &= 411 \text{ cm}^{-3} \end{aligned}$$

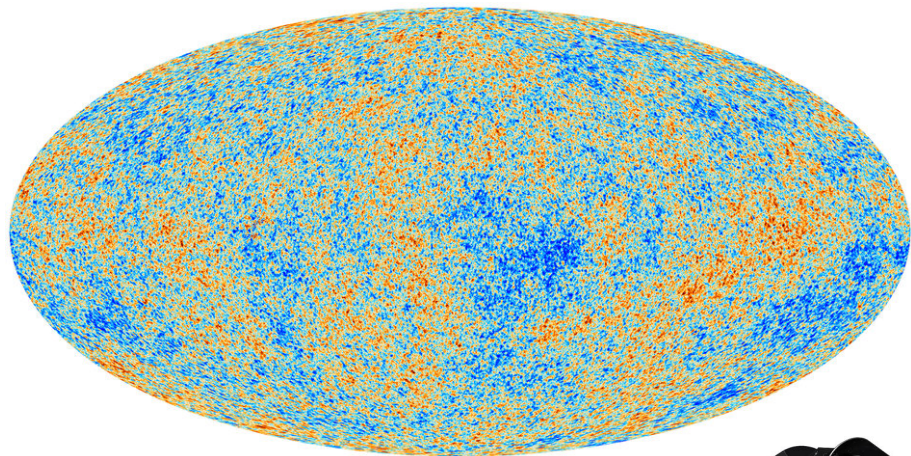
где  $\sigma$  есть константа  
из закона

Стефана-Больцмана

$$P = \sigma S T^4$$



# Первые результаты эксперимента Planck (2013)



$$\frac{\Delta T}{T} \sim \frac{1}{1000}$$

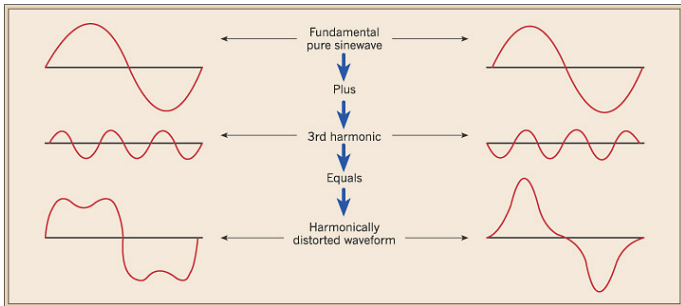
Спектр остаётся планковским !!



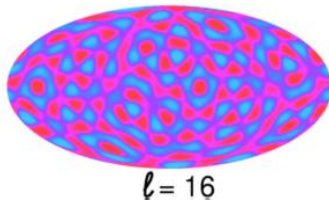
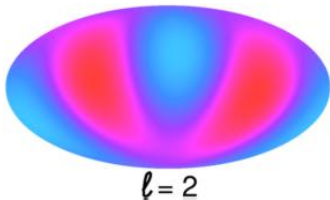
# Откуда взялась анизотропия ??

- Эпоха образования водорода:  $p^+ + e^- \rightarrow H + \gamma$
- Пропали свободные электроны: Вселенная прозрачна для фотонов
- Идея анизотропии: небольшие  $\delta n_e/n_e \propto \Delta T/T \sim 10^{-4}$  неоднородности в распределении материи
- Больше локальная плотность — позже образование водорода — холоднее фотоны
- Эволюция неоднородностей в плазме — распространение звуковых волн !!
- Флуктуации случайны (гауссовы), но их величина, форма, структура содержат информацию о скорости звука, числе барионов и др.
- Эксперимент: гауссовы адиабатические флуктуации с “плоским” спектром, дают начало структурам

# Разложение по гармоникам

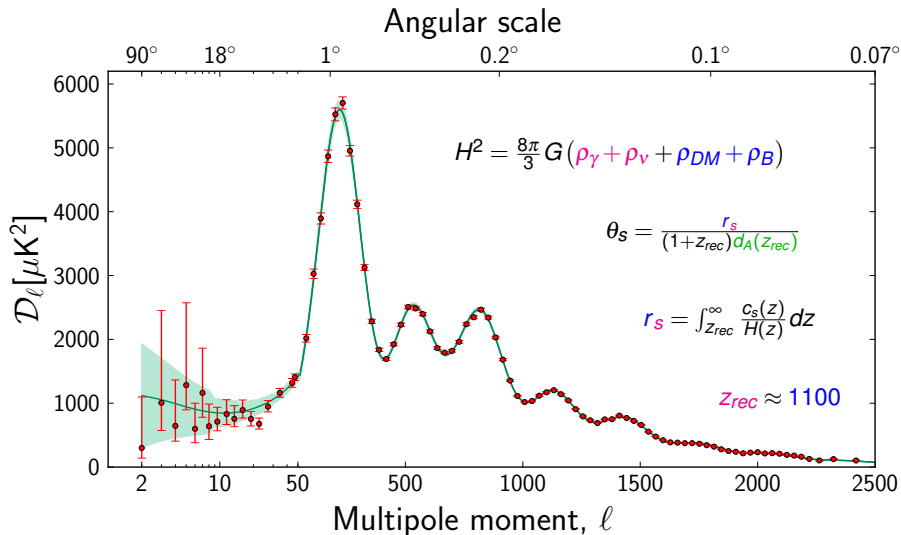


ЗВУК



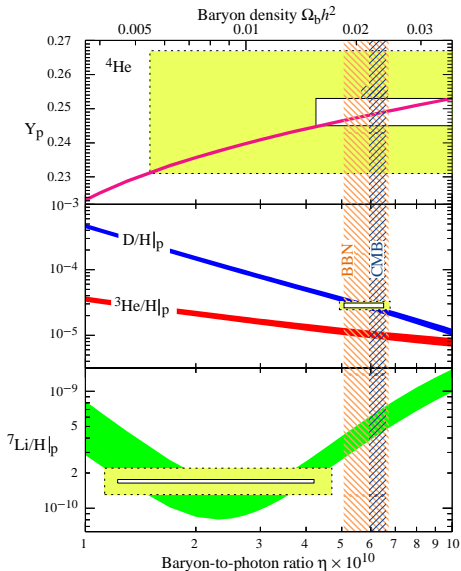
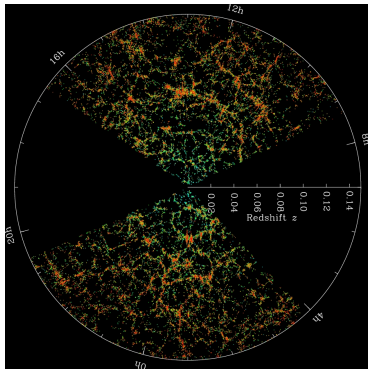
Температура на  
небесной сфере

# Традиционная форма представления (Planck 2013)



# Протоны и фотоны $n_B/n_\gamma \sim 10^{-9}$ уже в BBN

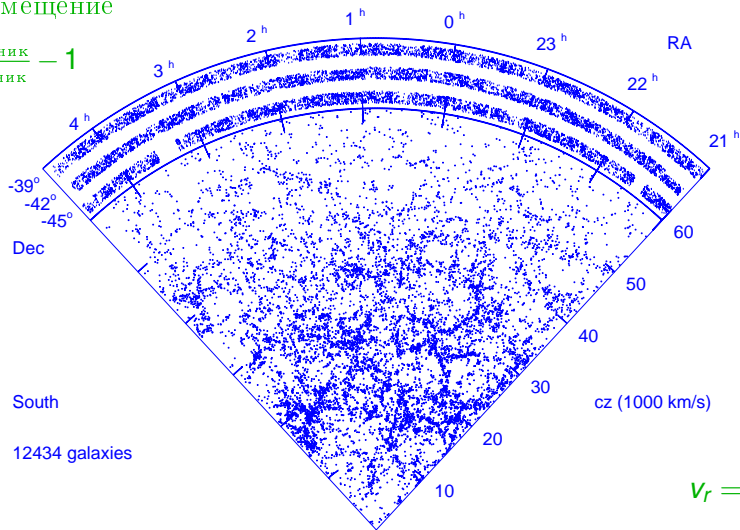
независимо извлечь состав плазмы  
можно из распространённости  
элементов



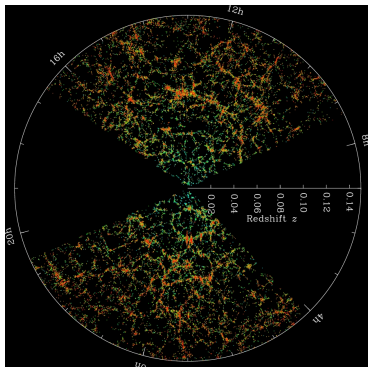
# Расположение галактик во Вселенной

красное смещение

$$z \equiv \frac{\lambda_{\text{приёмник}}}{\lambda_{\text{источник}}} - 1$$

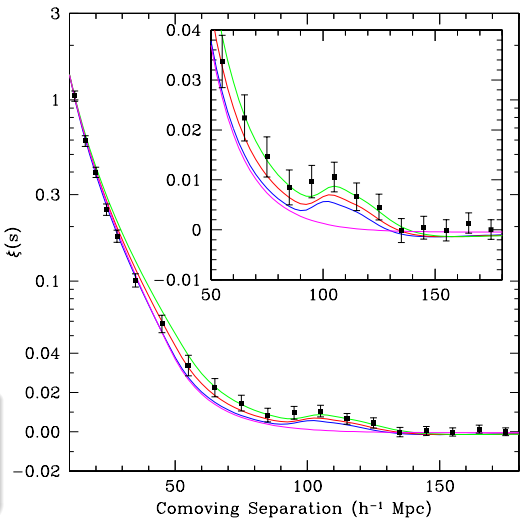


# Барионные акустические (“сахаровские”) осцилляции

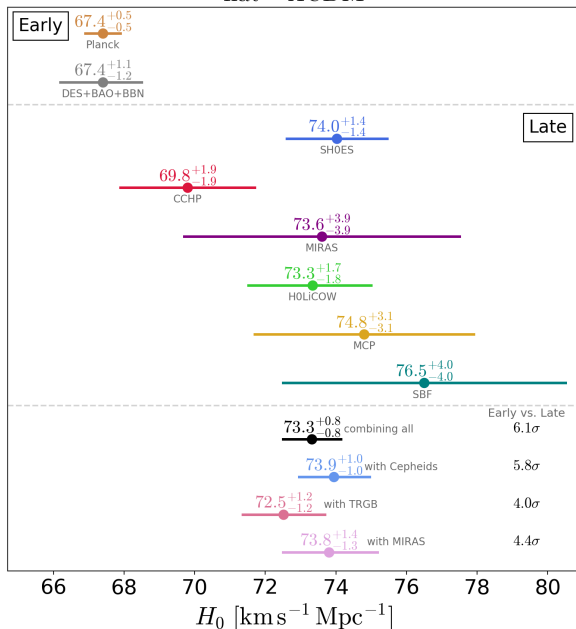


пик при  $r_s \approx 147$  Мпк

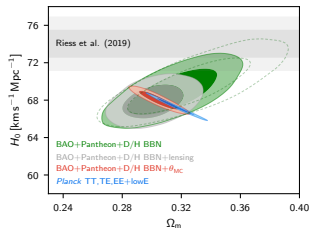
$$\xi_z(s) \propto \frac{\langle n_z(\vec{x}) n_z(\vec{x} + \vec{z}) \rangle_{\vec{x}}}{n_z n_z}$$



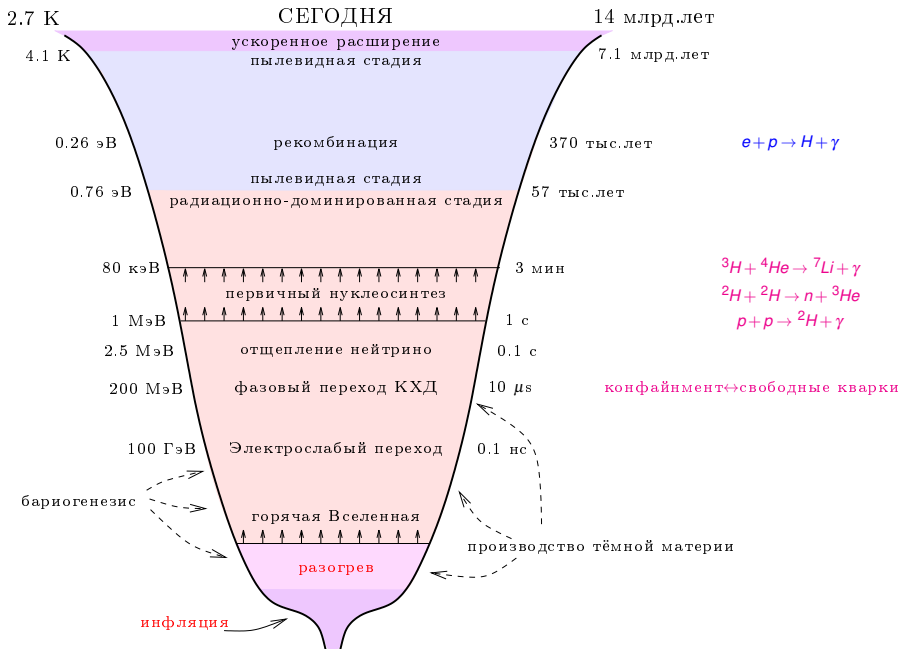
# flat - $\Lambda$ CDM



1807.06209



1907.10625



# “Недавние” Нобелевские премии “за космологию”

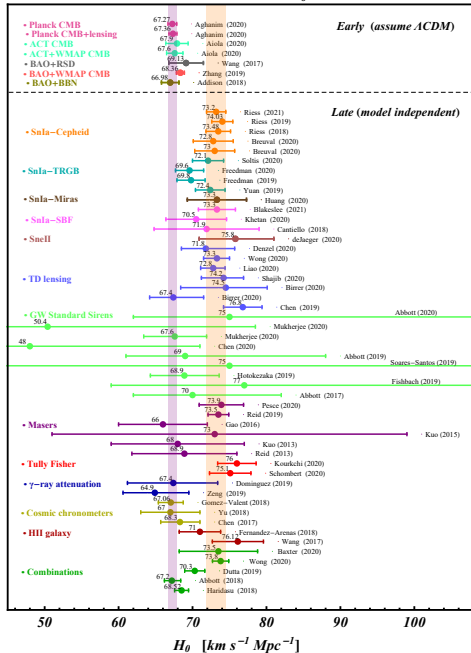
За анизотропию реликтового излучения (РИ)

2006: jointly to John C. Mather and George F. Smoot “for their discovery of the blackbody form and anisotropy of the cosmic microwave background radiation”

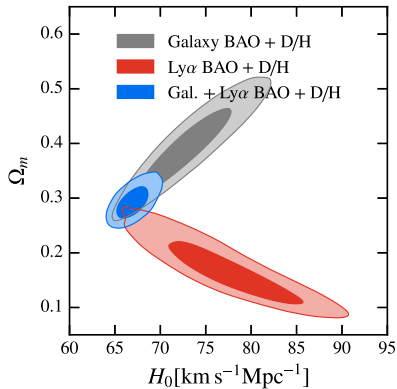
За ускоренное расширение (тёмная энергия)

2011: one half awarded to Saul Perlmutter, the other half jointly to Brian P. Schmidt and Adam G. Riess “for the discovery of the accelerating expansion of the Universe through observations of distant supernovae”

# Constraints on $H_0$



2105.05208



1707.06547

# Заключение: надежды и перспективы

Два измерения несовместны ( $10^{-6}$  !!), поскольку различаются “линейки”

- **Интересное решение:**

видим динамику тёмной энергии – подправляем  $\Lambda$ CDM

влияние стерильных нейтрино, аксионов, ... – расширяем физику частиц

- **Полезное решение:**

систематика в астрофизике – разбираемся с калибровками звёзд

- **Фантастическое решение:**

изменяем звуковой горизонт рекомбинации – новая космология ранней Вселенной

- **Осложнения при выборе:**

есть несколько других нестыковок, не столь значимых статистически

- **Новые наблюдаемые**

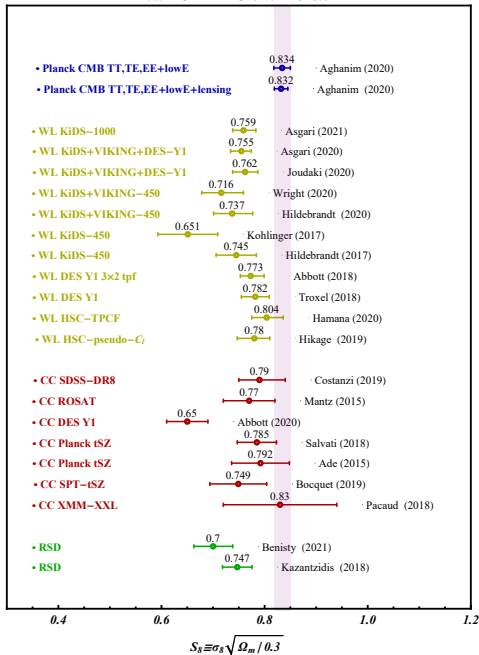
- **Новые данные:**

структуры (EUCLID, SKA, LSST) и реликтовое излучение (наземные и космические проекты)

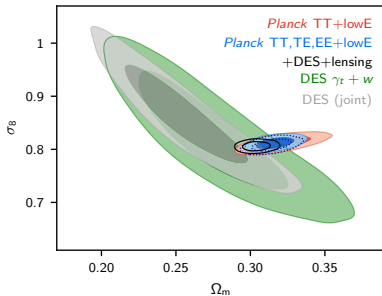


## Backup slides

# Flat $\Lambda$ CDM – Growth Tension



2105.05208



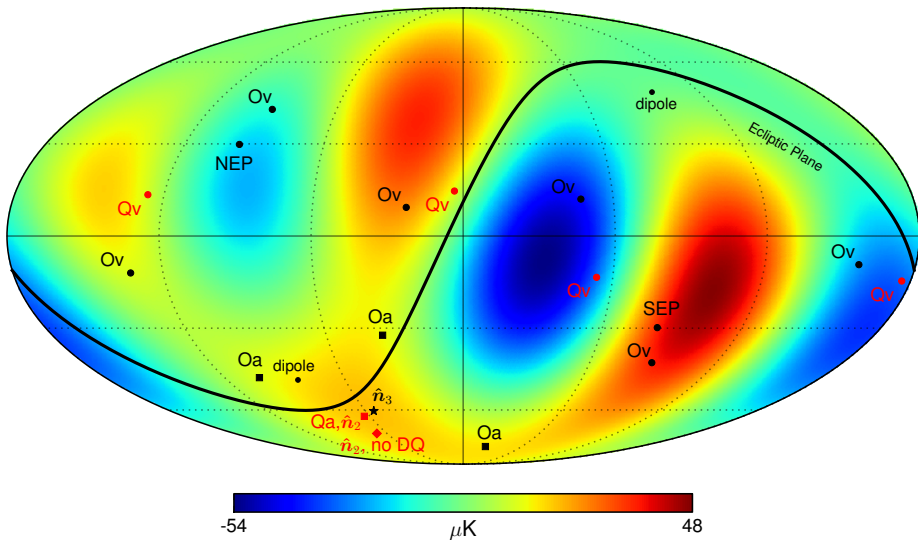
1807.06209

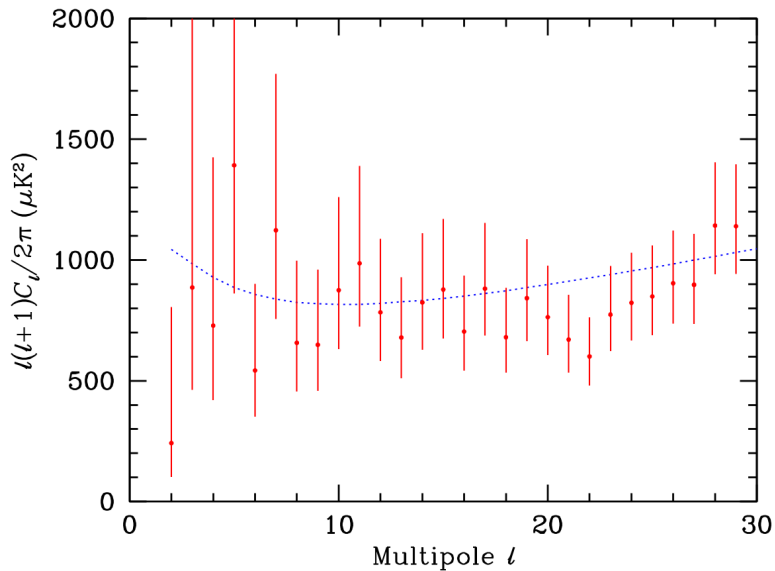
# CMB anomalies

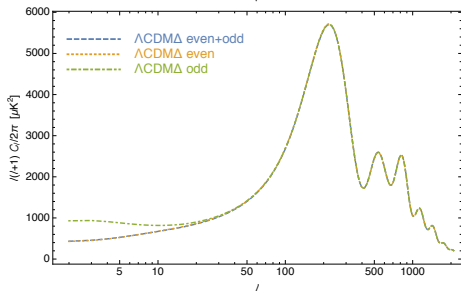
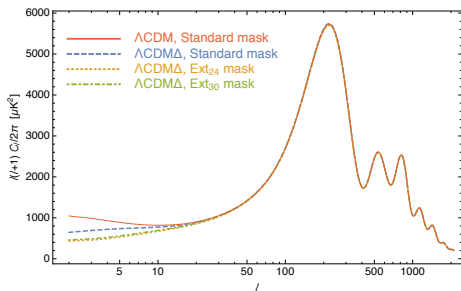
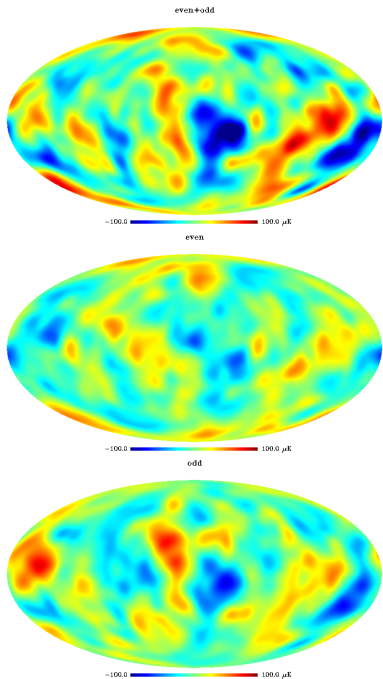
- quadrupole-octopole alignment,  $p < 0.5\%$
- $l = 1, 2, 3$  alignment,  $p < 0.2\%$
- odd parity preference  $l_{max} = 28$ ,  $p < 0.3\%$ ;  $l_{max} < 50$ ,  $p < 2\%$  (lee)
- dipolar modulation for  $l = 2 - 67$ ,  $p < 1\%$
- cold spot,  $p < 1\%$
- low variance ( $N_{side} = 16$ ),  $p < 0.5\%$
- 2-correlation  $\chi^2(\theta > 60^\circ)$ ,  $p < 3.2\%$
- 2-correlation  $S_{1/2}$ ,  $p < 0.3\%$ ; (larger masks)  $p < 0.1\%$
- hemispherical variance asymmetry,  $p < 0.1\%$

$$S_{1/2} \equiv \int_{-1}^{1/2} C^2(\theta) d(\cos \theta)$$

topology? primordial spectrum with broken scale invariance or isotropy?  
ISW from local LSS? ... Foregrounds?





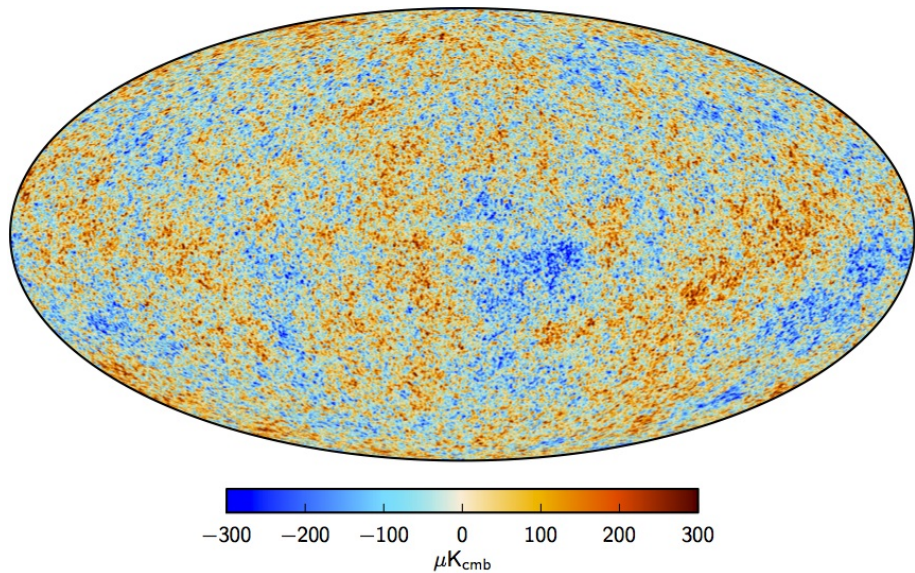


$$P(k) = k^3 / (k^2 + \Delta^2)^{2-n_s/2}$$

1712.03288

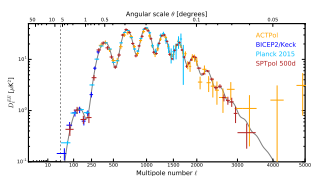
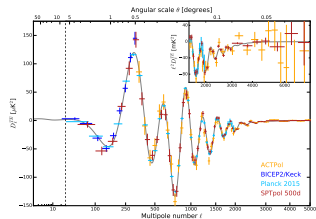
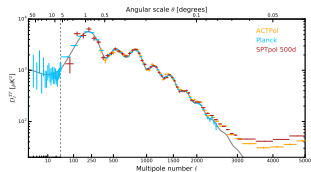
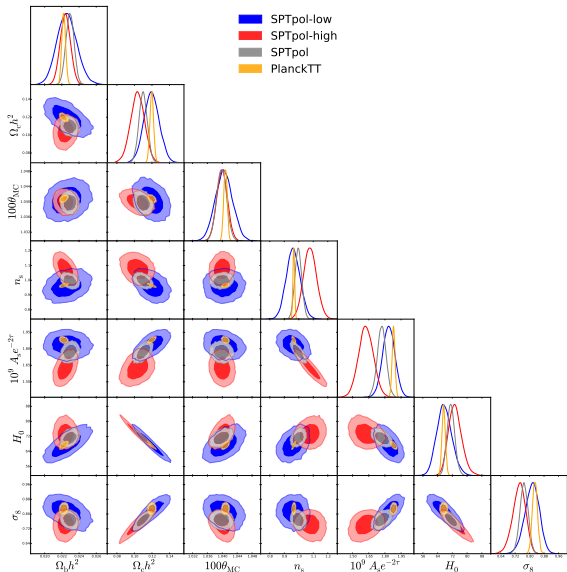
# CMB map (Planck)

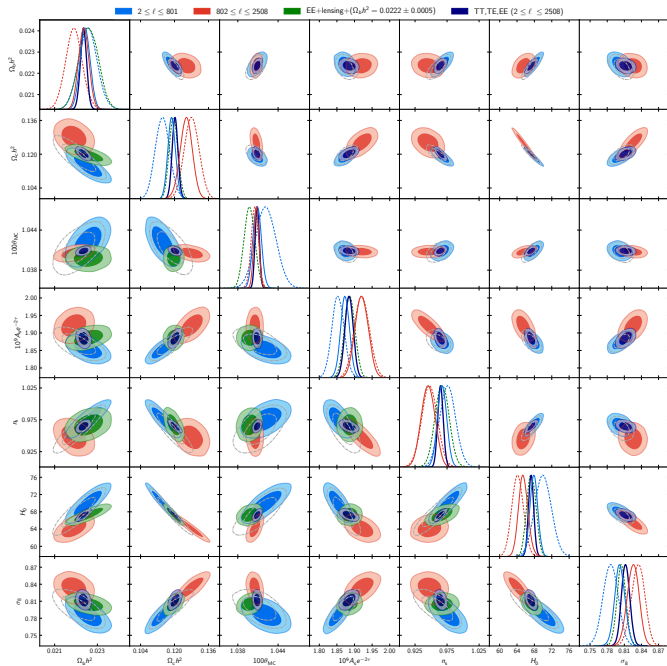
1502.01582



# SPTpole with critical $I = 1000$

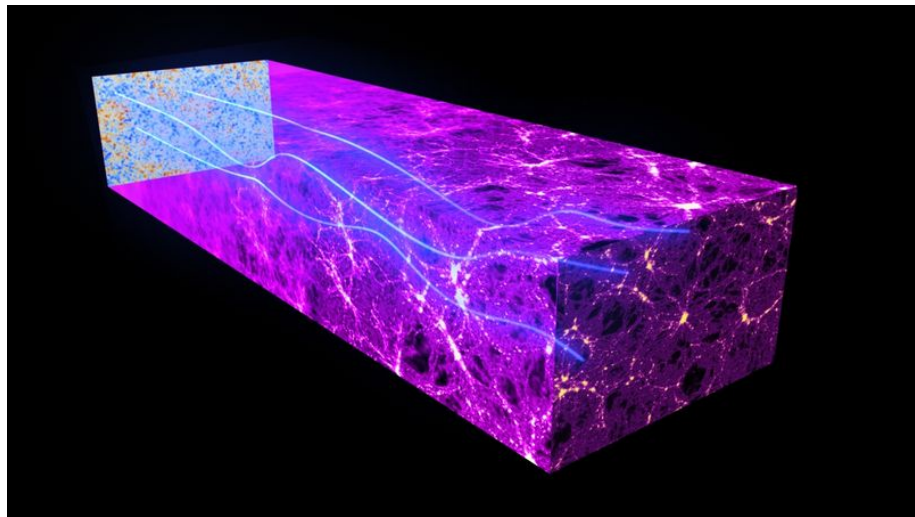
1707.09353



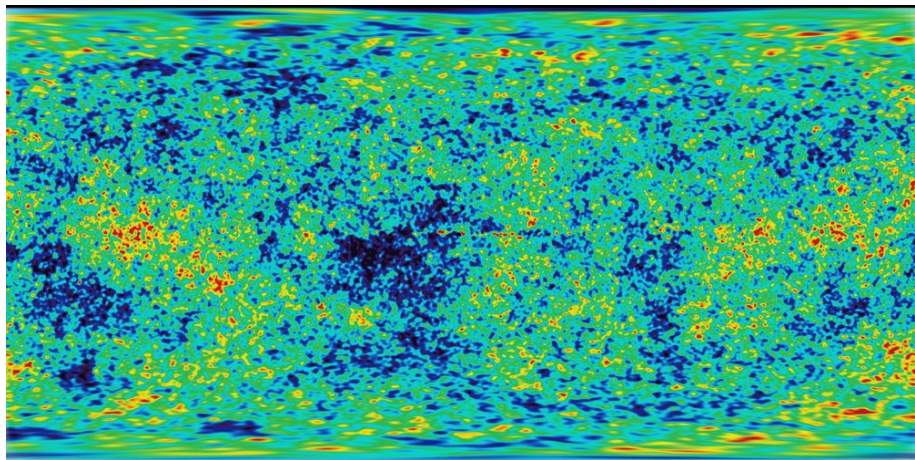


1807.06209

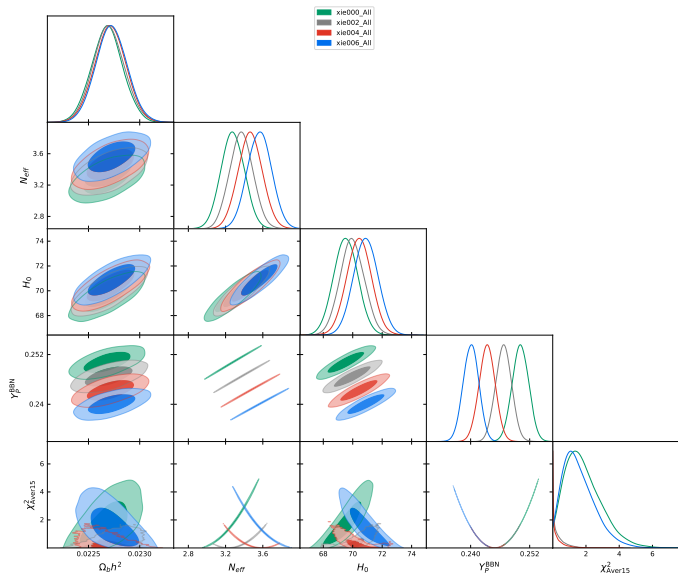
# Фотоны движутся в расширяющейся Вселенной



# Всё давно написано, дело за читателем

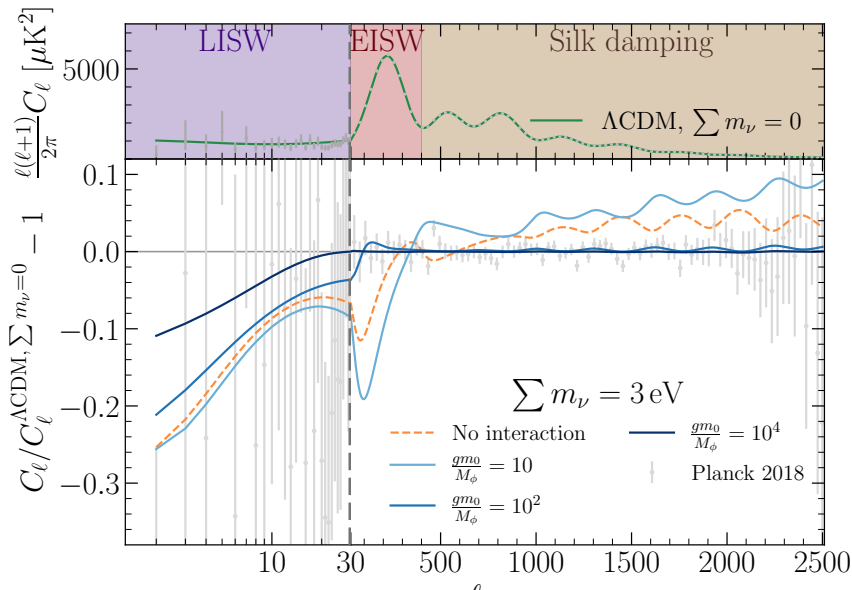






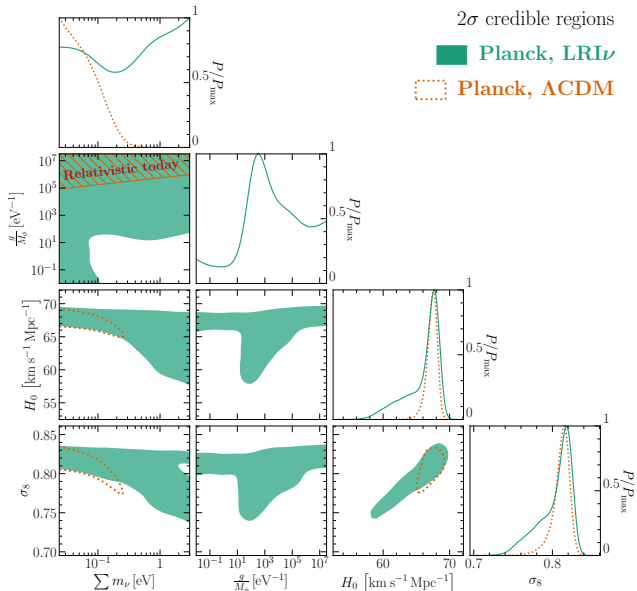
# CMB: 'heavy' neutrinos with long-range force

2101.05804



# CMB: 'heavy' neutrinos with long-range force

2101.05804



# CMB: 'heavy' neutrinos with long-range force

2101.05804

